

УДК 539.184 : 546.661

**РЕЗОНАНСНОЕ УШИРЕНИЕ ЛИНИЙ ЕВРОПИЯ,
ВОЗНИКАЮЩИХ ПРИ ПЕРЕХОДАХ $a^8S_{7/2}^0 - y^8P_{9/2, 7/2, 5/2}$**

H. P. Пенкин и L. N. Шабанова

Методом одновременного измерения эквивалентной ширины линии поглощения и крюков Рождественского исследовано резонансное уширение линий атома европия, возникающих при переходах $6s^2a^8S_{7/2}^0 - 6s6p y^8P_{9/2, 7/2, 5/2}$. В результате проведенных экспериментов определены времена жизни уровней $y^8P_{9/2, 7/2, 5/2}$ EuI (5.46, 5.68 и 5.87 нсек. соответственно) и эффективные сечения резонансного уширения линий 459.4, 462.7 и 466.2 нм ($492 \cdot 10^{-14}$, $426 \cdot 10^{-14}$ и $346 \cdot 10^{-14}$ см²). Найденные значения эффективных сечений резонансного уширения хорошо согласуются с теоретическими, полученными в ударном приближении.

1. Введение

В связи с широким использованием плазмы в различных областях физики и техники за последние годы чрезвычайно возрос интерес к элементарным процессам, происходящим в плазме. Особено много внимания уделяется процессам, имеющим большие эффективные сечения, сравнимые с газокинетическими или превышающие их. Одним из таких процессов является столкновение одинаковых атомов, возбужденного и невозбужденного, электронные состояния которых связаны оптически разрешенным дипольным переходом. Благодаря резонансному характеру взаимодействия основным результатом столкновения является передача энергии возбуждения от одного атома к другому. Это приводит к уменьшению времени жизни атома в возбужденном состоянии и, следовательно, к уширению соответствующей спектральной линии.

При низких давлениях резонансное уширение прямо пропорционально концентрации возмущающих атомов, не зависит от температуры, симметрично и описывается дисперсионной формулой [1–3]. Ширина линии, обусловленная столкновениями одинаковых атомов, в ударном приближении и приближении диполь-дипольного взаимодействия определяется выражением

$$\tau_{\text{ст.}} = K \frac{2\pi e^2}{m \omega_{J_0 J}} \sqrt{\frac{2J_0 + 1}{2J + 1}} N f_{J_0 J}. \quad (1)$$

Здесь e и m — заряд и масса электрона, $\omega_{J_0 J}$ — угловая частота дипольного перехода, J_0 и J — полные моменты невозбужденного и возбужденного атомов соответственно, N — концентрация возмущающих атомов, $f_{J_0 J}$ — сила осциллятора перехода $J_0 \rightarrow J$, K — числовой множитель, значения которого вычисленные и найденные экспериментально помещены в табл. 1. Данные, приведенные в табл. 1, в какой-то степени характеризуют состояние теоретических и экспериментальных работ по резонансному уширению спектральных линий. В настоящее время трудно назвать точное значение коэффициента K и сказать что-либо о его зависимости от моментов J_0 и J . Очевидно, только дальнейшее изучение резонансного уширения позволит решить эту проблему.

В работе [15] нами было исследовано резонансное уширение линий

Таблица 1

Автор	К (переходы $J_0 \rightarrow J$)				
	0-1	$1/2-1/2$	$1/2-3/2$	1-1	1-2
Теория					
Ватанабе [4]	1.95	—	—	—	—
Али и Грим [5]	1.92	1.92	1.92	1.92	1.92
Омон [6]	1.97	1.97	1.97	1.97	1.97
Казанцев [7]	1.95	—	—	—	—
Вдовин и Галицкий [8]	2.09	—	—	—	—
Омон и Менье [9]	2.08	—	—	—	—
Бирман и Лэмб [10]	2.08	—	—	—	—
Стэси и Купе [11]	2.08	1.80	2.08	—	—
Вдовин, Галицкий и Якимец [12]	—	1.80	1.98	2.00	2.01
Эксперимент					
Лагарде и Ленье [13]	2.35 ± 0.16	—	—	—	—
Воон [14]	1.95 ± 0.12	—	—	—	—
Пенкин и Шабанова [15]	2.00 ± 0.11	—	—	—	—
Льюис, Риббек и Воон [16]	—	2.48 ± 0.60	2.66 ± 0.60	—	—

атомов кальция, стронция и бария, возникающих при переходах $ns^2 1S_0 \rightarrow nsnp^1P_1^0$. Настоящая работа посвящена изучению резонансного уширения линий европия ($6s^2 a^8 S_{1/2}^0 \rightarrow 6s6p^3 P_{1/2}, 7/2, 5/2$).

2. Метод

Исследование резонансного уширения линий EuI проводилось, как и ранее, методом одновременного определения эквивалентной ширины линии поглощения и крюков Рождественского. Измеряя эти величины в условиях поглощающего слоя большой оптической плотности, когда,

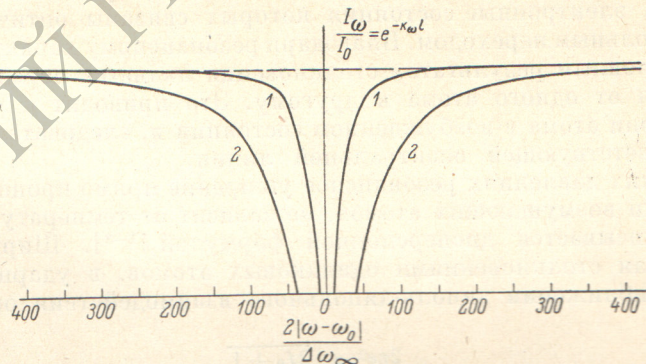


Рис. 1. Контур линии 459.4 нм EuI в условиях поглощающего слоя большой оптической плотности.

$$1 - k_0 l = 2.31 \cdot 10^4, \quad a = \frac{\gamma_{ki} + \gamma_{ct}}{\Delta\omega_D} \sqrt{\ln 2} = 0.0285; \quad 2 - k_0 l = 2.15 \cdot 10^5, \\ a = 0.0348.$$

несмотря на эффект Доплера, контур линии определяется исключительно ее крыльями (рис. 1), можно найти ширину суммарного дисперсионного контура, обусловленного независимым действием естественного и ударного уширений

$$\gamma = \gamma_{ki} + 2Nv\sigma = \frac{c}{\pi\lambda_{ki} K(\lambda)} \left(\frac{A_\lambda}{\Delta_{ik}} \right)^2. \quad (2)$$

Здесь γ_{ki} — естественная ширина линии в единицах угловой частоты, v — средняя относительная скорость сталкивающихся атомов, σ — эф-

фективное сечение ударного уширения, c — скорость света, $K(\lambda)$ — постоянная метода крюков, A_λ — эквивалентная ширина линии поглощения, Δ_{ik} — расстояние между вершинами крюков.

Изучая зависимость ширины линии γ от концентрации возмущающих атомов (величины Nfl), легко определить эффективное сечение резонансного уширения и естественную ширину линии. Последняя находится экстраполяцией прямой, выражающей эту зависимость, к значениям величины Nfl , при которых столкновения с атомами собственного газа пренебрежимо малы. Минимальные значения величины Nfl , удовлетворяющие выражению (2), определяются требованием $A_\lambda = 10\Delta\lambda_b$, максимальные — критерием выполнимости ударного приближения $\pi r_0^3 N \ll 1$. Наличие у линии поглощения сверхтонкой и изотопической структуры оказывается в этих условиях несущественным [17, 18].

3. Эксперимент

Экспериментальная установка, использованная в работе, включала в себя источник сплошного спектра, интерферометр Рождественского, устройство для создания поглащающего столба паров, спектрограф для фотографирования крюков, монохроматор с набором двойных щелей на выходе и фотоэлектрической приставкой для измерения эквивалентной ширины линии поглощения. Исследуемый столб паров европия создавался в кварцевой трубке, помещенной в электрическую печь сопротивления с выравненной по длине температурой. Чтобы уменьшить диффузию паров европия из горячих частей абсорбционной кюветы в холодные и предотвратить их конденсацию на окошках кюветы, в нее напускался инертный газ. Эффективная длина поглащающего столба паров при температуре 900° К равнялась 57 ± 1 см.

В работе использовались спектрограф и монохроматор автоколлимационного типа с дифракционными решетками 1200 штр./мм. Обратная линейная дисперсия спектрографа и монохроматора в первом порядке в области 4630 Å составляла 4.010 и 4.090 Å/мм соответственно. Для уменьшения рассеянного света в монохроматоре перед входной его щелью ставились стеклянные фильтры ЖС-12 и СЗС-18 [19].

Эквивалентная ширина линии определялась по формуле

$$A_\lambda = \left(1 - \alpha \frac{i_2}{i_1}\right) \Delta\lambda. \quad (3)$$

Коэффициент $\alpha = i_1/i_{20}$, учитывающий неравенство фототоков i_1 и i_2 от одной и другой выходных щелей монохроматора в отсутствие поглощения, очень мало отличался по величине от единицы. Выбор оптимальной ширины выходной щели монохроматора $\Delta\lambda$ осуществлялся измерением одной и той же эквивалентной ширины линии при различных значениях $\Delta\lambda$. Такие измерения были проведены для разных по величине эквивалентных ширин линии поглощения. Это позволило не только найти оптимальную ширину выходной щели монохроматора, но и ввести поправку на крылья линии, если для повышения точности измерений использовалась более узкая щель. Так как в абсорбционной кювете присутствовал инертный газ, то помимо изучения зависимости ширины линии γ от величины Nfl была также изучена зависимость ширины линии от давления примешанного газа, чтобы учесть вызываемое им уширение.

4. Результаты измерений и их обсуждение

Некоторые из полученных в эксперименте графиков, выражающих зависимость ширины линии γ от величины Nfl для линий европия $a^8S_{1/2} - g^8P_{1/2, 3/2, 5/2}$, приведены на рис. 2. Во всех случаях указанная зависи-

мость хорошо аппроксимировалась прямой линией. Из наклона таких прямых были найдены эффективные сечения резонансного уширения

$$\sigma = \frac{fl}{2v} \frac{\gamma_{\text{ст}}}{Nfl}. \quad (4)$$

Силы осцилляторов переходов $a^8S_{7/2} - y^8P_J$ определялись по формуле

$$f_{ik} = \frac{mcg_k}{8\pi^2 e^2 g_i} \gamma_{ki}^2 \gamma_{ki}. \quad (5)$$

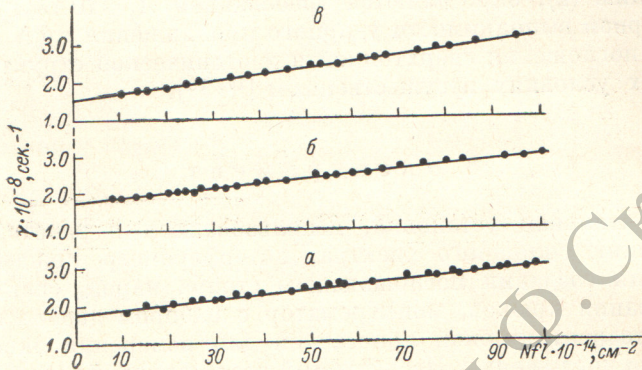


Рис. 2. Зависимость ширины линии γ от величины Nfl в условиях поглощающего слоя большой оптической плотности для линий EuI.

а — 459.4, *б* — 462.7, *в* — 466.2 нм.

По измеренным значениям естественной ширины линий европия были также определены средние времена жизни уровней y^8P_J

$$\tau_k = \frac{1}{\gamma_{ki}}. \quad (6)$$

Таблица 2

Переход	λ , Å	$\gamma_{ki} \cdot 10^{-8}$, сек. ⁻¹	$\tau \cdot 10^9$, сек.		T, °К	$\sigma \cdot 10^{14}$, см ²
			настоящая работа	[²⁰]		
$6s^2 a^8S_{7/2}^0 - 6s6py^8P_{9/2}$	4594.03	1.83 ± 0.07	5.46 ± 0.21	5.53	900	492 ± 32
$6s^2 a^8S_{7/2}^0 - 6s6py^8P_{7/2}$	4627.22	1.76 ± 0.09	5.68 ± 0.28	5.83	900	426 ± 60
$6s^2 a^8S_{7/2}^0 - 6s6py^8P_{5/2}$	4661.88	1.55 ± 0.08	6.45 ± 0.32	6.77	900	346 ± 21

Полученные нами значения времен жизни этих уровней хорошо согласуются, как это видно из данных табл. 2, с результатами измерений, выполненных в работе [²⁰] по методу пересечения уровней.

Согласно уравнениям (5) и (6), времена жизни уровней y^8P_J должны относиться друг к другу как

$$\tau_1 : \tau_2 : \tau_3 = \frac{g_1 \lambda_{10}^2}{f_{01}} : \frac{g_2 \lambda_{20}^2}{f_{02}} : \frac{g_3 \lambda_{30}^2}{f_{03}}. \quad (7)$$

Здесь индексы 1, 2, 3 обозначают уровни $y^8P_{9/2}$, $y^8P_{7/2}$, $y^8P_{5/2}$ соответственно, а индекс 0 — уровень $a^8S_{7/2}^0$. Если воспользоваться экспериментальными относительными значениями сил осцилляторов, найденными в работе [²¹] по методу крюков Рождественского, то получим

$$\tau_1 : \tau_2 : \tau_3 = 100.0 : 102.3 : 105.6. \quad (8)$$

Настоящий эксперимент и работа [20] дают соответственно

$$\tau_1 : \tau_2 : \tau_3 = \begin{cases} 100 : 104 : 118, \\ 100 : 105 : 122, \end{cases} \quad (9)$$

т. е. несколько большее время жизни уровня $y^8P_{5/2}$, чем это следовало ожидать из измерений относительных чисел f . Хотя погрешность измерений этих чисел f в работе [21] составляла всего лишь $1 \pm 2\%$, тем не менее нами вновь методом крюков были определены относительные силы осцилляторов линий, возникающих при переходах $a^8S_{1/2}^0 - y^8P_{9/2}, 7/2, 5/2$, в том интервале значений величины Nfl , в котором исследовалось резонансное уширение. Повторные измерения подтвердили предыдущий результат ($f_{01} : f_{02} : f_{03} = 1000 : 783 : 580$).

Таким образом, более точным значением времени жизни уровня $y^8P_{5/2}$ следует признать значение, полученное из измерений относительных чисел f и времен жизни уровней $y^8P_{9/2}$ и $y^8P_{7/2}$ и равное

$$\tau_{y^8P_{5/2}} = (5.87 \pm 0.23) \text{ нсек.}$$

Для переходов $J_0 = 7/2 - J = 9/2, 7/2, 5/2$ нами были получены следующие значения коэффициента K , входящего в формулу (4): 1.99 ± 0.13 , 1.92 ± 0.27 и 2.00 ± 0.13 . Эти значения в пределах погрешностей эксперимента согласуются с найденным ранее значением этого коэффициента для переходов $J_0 = 0, J = 1$ [15], а также результатами теоретических расчетов [6] (табл. 1).

Из наших экспериментов по резонансному уширению напрашивается вывод о независимости коэффициента K от полных механических моментов J_0 и J . Если это так, то эффективные сечения резонансного уширения линий $a^8S_{1/2}^0 - y^8P_{9/2}, 7/2, 5/2$ Eu I должны относиться друг к другу как

$$\sigma_1 : \sigma_2 : \sigma_3 = \frac{\lambda_{10}f_{01}}{\sqrt{2J_1+1}} : \frac{\lambda_{20}f_{02}}{\sqrt{2J_2+1}} : \frac{\lambda_{30}f_{03}}{\sqrt{2J_3+1}}. \quad (10)$$

Подставляя в выражение (10) значения длин волн, статистических весов уровней y^8P_J и экспериментальные относительные значения сил осцилляторов, получим

$$\sigma_1 : \sigma_2 : \sigma_3 = 100 : 88.1 : 76.0. \quad (11)$$

Это значение отношения эффективных сечений резонансного уширения линий европия хорошо согласуется с экспериментом

$$\sigma_1 : \sigma_2 : \sigma_3 = 100 : 87 : 70. \quad (12)$$

Литература

- [1] Ш. Чен, М. Такео. Усп. физ. наук, 66, 391, 1958.
- [2] Н. Д. Кун. Opt. Pump. and Atom. Line Shape, 43, Warsaw, 1969.
- [3] И. И. Собельман. Введение в теорию атомных спектров. М., 1963.
- [4] Т. Watanabe. Phys. Rev., 138A, 1573, 1965; 140AB, 5, 1965.
- [5] A. W. Ali, H. R. Griem. Phys. Rev., 140A, 1044, 1965; 144, 366, 1966.
- [6] A. Omont. C. R. Acad. Sci., 262B, 190, 1966.
- [7] А. П. Казанцев. ЖЭТФ, 5, 1751, 1966.
- [8] Ю. А. Вдовин, В. М. Галицкий. ЖЭТФ, 52, 1345, 1967.
- [9] A. Omont, J. Meunier. Phys. Rev., 169, 92, 1968.
- [10] P. R. Bergman, W. E. Lamb. Phys. Rev., 187, 221, 1969.
- [11] D. N. Stacey, J. Cooper. Phys. Lett., A30, 49, 1969.
- [12] Ю. А. Вдовин, В. М. Галицкий, В. В. Якимец. Сб. «Вопросы теории атомных столкновений». Атомиздат, МИФИ, 1970.
- [13] D. Lagarde, R. Lennvier. Comptes Rendus., 261, 919, 1965.
- [14] J. Vaughan. Proc. Roy. Soc., 295, 164, 1966.

- [15] Н. П. Пенкин, Л. Н. Шабанова. Опт. и спектр., 26, 346, 1969.
- [16] E. L. Lewis, M. M. Rebbeck, J. M. Vaughan. Phys. Lett., A 30, 50, 1969.
- [17] А. Митчелл, М. Земанский. Резонансное излучение и возбужденные атомы. ОНТИ, 1937.
- [18] C. van Trigt. J. Opt. Soc. Am., 58, 669, 1968.
- [19] Каталог цветного стекла. ОНТИ, Л., 1959.
- [20] E. Handrich, H. Kretzen, W. Lange, A. Stedel, R. Wallenstein, H. Walther. Opt. Pump. and Atom. Line Shape, 417, Warsaw, 1969.
- [21] В. А. Комаровский, Н. П. Пенкин, Л. Н. Шабанова. Опт. и спектр., 25, 155, 1968.

Поступило в Редакцию 14 июня 1972 г.